

SOTE Kísérleti Kutató Laboratórium

Nagyartériák nemlineáris anizotróp rugalmassági tulajdonsága-
inak modellezése

Hudetz Antal, Szutrély Judit és Monos Emil

Bevezetés

A vérkeringési rendszer szabályozási folyamatainak kvantitatív leírásához és megértéséhez ismernünk kell az érfal biomechanikai tulajdonságait megadó, a fiziológias nyomás és frekvenciatartományban érvényes matematikai modellt. E modell meghatározása metodikai okokból in vitro mérések alapján végezhető el. Feltételezzük, hogy a mérési eredményekből az artériák in vivo viselkedésére olyan terhelés, ill. deformációtartományokban is lehet következtetni, ahol in vivo mérésre nincs mód.

A matematikai-fizikai modell birtokában az érfal mechanikai terheléstől függő strukturaváltozásáról szerezhethetünk információt. Az érfal - mint speciális élő szövet -, mechanikai tulajdonságainak egzakt elméleti leírása lényeges szempont az érprotézisek optimális anyagi és geometriai jellemzőinek megadásához is.

A modell felállítása lehetőséget biztosít olyan érfal-mechanikai számításokhoz, melyek az incrementális számítási módszerrel nem végezhetők el. Klinikai szempontból is igen fontos az érfal mechanikai tulajdonságainak meghatározására szolgáló mérés technika fejlesztése, melyhez hasznos szempontokat nyújthat egy nemlineáris mechanikai modell kifejlesztése.

Elméleti megfontolások

A nagymértékben deformálódó anyagok - mint például az érfal - rugalmas viselkedése ugynevezett nemlineáris kontinuummechanikai elmélettel írható le. A fő cél az érfal nemlineáris anyagi egyenleteinek (a-

lapegyenleteknek) a megtalálása, amelyek az érfalban kialakuló feszültségek és az érfal deformációi közti függvénykapcsolatot fejezik ki. Az alapegyenletek birtokában az érfal tetszőlegesen deformált állapotára megadhatók az ún. incrementális rugalmassági modulusok. Bár a jelenlegi elméletben az eret homogén anyagunak tekintjük, az incrementális modulusok értékéből indirekt következtetéseket lehet levonni az érfal struktúrájára vonatkozóan, melyről ma még igen hiányos ismereteink vannak.

Az érfal alapegyenletének felállításában a Vaishnav (11) és Young (12) által javasolt Green-féle módszert (5) követjük, az ún. deformációs energia koncepciót. A deformációs energia sűrűség (az egységnyi faltérfogatban tárolt rugalmas energia) egy adott rugalmas testre nézve csak a deformációs állapot függvénye. Jelöljük a deformáció-energiasűrűség függvényt W -vel. Ekkor egy homogén, inkompresszibilis, hengeresen ortotróp rugalmas test esetében W kifejezhető mint

$$W = W(\epsilon_{\theta}, \epsilon_z) \quad /1/$$

ahol ϵ_{θ} és ϵ_z a Lagrange-féle nyúlástenzor tangenciális és axiális fizikai komponensei. Ha λ_{θ} -val és λ_z -vel a megfelelő relatív nyújtásokat jelöljük

$$\epsilon_{\theta} = \frac{1}{2} (\lambda_{\theta}^2 - 1), \quad \lambda_{\theta} = \frac{R}{R_0}$$

$$\epsilon_z = \frac{1}{2} (\lambda_z^2 - 1), \quad \lambda_z = \frac{L}{L_0}$$

ahol R , R_0 és L , L_0 az ér deformált és nyugalmi közepes sugarát, illetve hosszát jelöli. W ismeretében a Cauchy-féle feszültségtenzor fizikai komponensei a következő összefüggések szerint határozhatók meg:

$$S_{\theta} - S_R = (1 + 2\epsilon_{\theta}) \frac{\partial W}{\partial \epsilon_{\theta}}$$

$$S_z - S_R = (1 + 2\epsilon_z) \frac{\partial W}{\partial \epsilon_z} \quad /2/$$

Az anizotróp rugalmassági tulajdonságokat szemléletesen jellemző incrementális modulusok definíciója a következő:

$$E_r = \frac{\Delta S_r}{e_r}, \quad \sigma_{\theta r} = \frac{e_{\theta}}{e_r} \quad (\Delta S_{\theta} = \Delta S_z = 0)$$

$$E_{\theta} = \frac{\Delta S_{\theta}}{e_{\theta}}, \quad \sigma_{z\theta} = \frac{e_z}{e_{\theta}} \quad (\Delta S_r = \Delta S_z = 0)$$

$$E_z = \frac{\Delta S_z}{e_z}, \quad \sigma_{\theta z} = \frac{e_{\theta}}{e_z} \quad (\Delta S_r = \Delta S_{\theta} = 0)$$

ahol E_r, E_{θ}, E_z incrementális Young modulusok, $\sigma_{\theta r}, \sigma_{z\theta}, \sigma_{\theta z}$ incrementális Poisson állandók e_r, e_{θ}, e_z pedig infinitezimális relativ megnyulások (dilatációk) hengerkoordinátarendszerben. Megjegyezzük, hogy inkompresszibilis ortotróp anyag esetében tulajdonképpen 9 állandó van, a függetlenek száma azonban csak 3. A fenti incrementális modulusok W második parciális deriváltjaival fejezhetők ki. A konkrét kifejezéseket illetően (11)-re utalunk.

Tegyük fel, hogy az artériafal ideálisan rugalmas, tehát izotermikus körülmények között létezik deformációs energia függvénye (W), és teljesülnek a fentiekben említett összes többi feltételek is. Az artéria kvázi-statisztikus deformációja esetén az érfalban kialakuló 3 dimenziós átlagos feszültségek megfelelő mechanikai mérésekből az anyagi tulajdonságok ismerete nélkül meghatározhatók, feltéve, hogy az érvékonyfalú (8). Tegyük fel, hogy W explicit formája ismert, de az általa tartalmazott rugalmassági állandók értéke nem. Ekkor (1) és (2) által megadott modellnek különböző ϵ_{θ} és ϵ_z nyulásoknál a mérésből kapott feszültségértékekre való illesztésével az állandók meghatározhatók. A deformációs energiafüggvény alakját nem lehet fizikai megfontolásokból levezetni ortotróp anyag esetén. Az alapvető probléma tehát egy alkalmas $W(\epsilon_{\theta}, \epsilon_z)$ modelfüggvény megtalálása.

Munkánkban két különböző típusu modellel végeztünk számításokat. Ha W folytonos és tetszőlegesen sokszor differenciálható, akkor sorbafejthetjük a deformációkomponensek szerint. A Patel és mtsai (9) által javasolt 7 paraméteres polinomiális alak a következő:

$$W = W_0 + A\epsilon_\theta^2 + B\epsilon_\theta \epsilon_z + C\epsilon_z^2 + D\epsilon_\theta^3 + E\epsilon_\theta^2 \epsilon_z + F\epsilon_\theta \epsilon_z^2 + G\epsilon_z^3$$

/3/

ahol A, B, \dots, G rugalmassági állandók. Mivel a feszültségek az $\epsilon_\theta = \epsilon_z = 0$ deformációnál zérusok, ezért elsőfoku tagok W kifejezésében nem szerepelnek. Az 1-el magasabb fokszámu polinom 12 paramétert tartalmaz. Fung (3) és Simon (10)/3/ helyett exponenciális modellből indultak ki, méréseiket azonban csak két dimenzióban végezték el. Mi egy, az említett szerzőkétől eltérő, 4 paraméteres exponenciális modellt választottunk, mely /3/-hoz hasonlóan szimmetrikus az ϵ_θ és ϵ_z változóiban:

$$W = W_0 + e^{\bar{A} + B'\epsilon_\theta^2 + C'\epsilon_\theta \epsilon_z + D'\epsilon_z^2}$$

Módszer

A modell-paraméterek meghatározása kutyákból izolált carotis communis és iliaca artériákon végzett mechanikai mérési eredmények alapján történt. Az un. kvázi-statikuss nagydeformációs teszt a belső nyomás lassu és ciklikus változtatásával történt 0-250 Hgmm tartományban, miközben a nyomást, az artéria külső átmérőjét és az axiális nyújtóerőt regisztráltuk. A kísérleti berendezést és a mérési folyamat további részleteit illetően (1)-re és (8)-ra utalunk. A mérést megisméltük az ér több különböző, előre beállított axiális megnyújtása mellett.

A rugalmassági állandókat a fentiekben már vázolt, feszültségekre való illesztéssel határoztuk meg. S_e és S_z - mint kétváltozós függvények - egy-egy felületet határoznak meg. Mivel a feszültségek kifejezés-

seit a W deformációs energia függvényből származtattuk, S_θ és S_z explicit alakjában azonos paraméterek is szerepelnek. Itt tehát nem egyszerűen görbeillesztéseket, hanem két felület szimultán illesztését kell elvégezni.

A polinomok illesztése esetében a legkisebb négyzetek elvéből adódó lineáris normál egyenletrendszer első lépésben Gauss-Jordan eliminációval oldottuk meg. A 12 paraméteres polinom esetében a normál egyenletrendszer mátrixa igen rosszul kondicionált. Ezért a normál egyenletrendszer megoldása helyett Householder transzformációt alkalmaztunk.

Az exponenciális modell esetén a legkisebb négyzetek elvéből adódó normál egyenletrendszer a paraméterekben nem lineáris, ezért az ismeretlen paramétereket úgy kerestük meg, hogy a hibafüggvényt minimalizáltuk a paraméterek függvényében. A hibafüggvény minimalizálására a Broyden-Fletcher-Schanno-féle (BFS) kvázi-Newton módszert alkalmaztuk, amely kihasználja, hogy a modell-függvény paraméterek szerinti deriváltjait analitikusan ismerjük. A BFS algoritmus jelenleg a legstabilabb általános függvényminimalizáló eljárás. Mivel ez a módszer csak lokális minimumot keres, a globális minimum megtalálása érdekében több kezdőpontból indítottuk a minimum keresést.

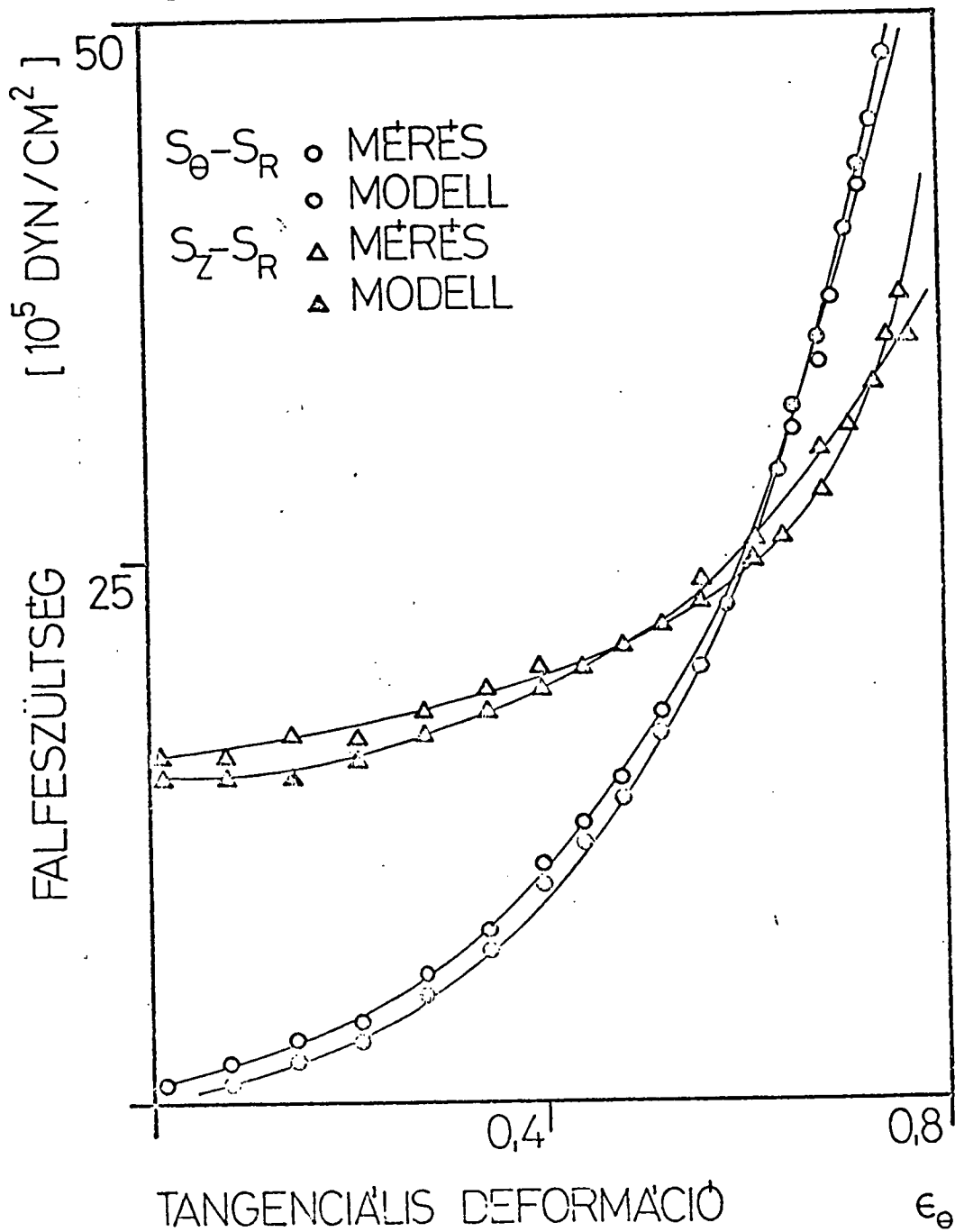
Eredmények

A. A különböző modellek illesztését 5-5 db carotis communis (CC) és iliaca (IA) artériákra végeztük el. Az illeszkedés jósága az egyes mérések esetében eltérő volt, és általában jobb a CC artériákra. Az 1. ábrán a mért, és az exponenciális modellből számított $S_\theta - S_r$ és $S_z - S_r$ feszültségeket láthatjuk az ϵ_θ tangenciális deformáció függvényében egy-egy reprezentatív artériára. A feltüntetett függvények a két feszültség-felület $\lambda_z = 1,85$, ill. $\lambda_z = 1,55$ megnyújtásokhoz tartozó síkmetszetei. A két típusu artéria fiziológiás (in vivo) axiális nyújtásfoka különböző, innen a λ_z -kbeli eltérés.

A 7 paraméteres polinomiális modell esetében az illeszkedés lényegesen rosszabb volt, mint a 4 paraméteres exponenciális modellé. A 12 paraméteres modellel szintén jó egyezést lehetett elérni, azonban a

MODELL EXP. 4 - 198 -
A. CAROTIS COMMUNIS
 $\lambda_z = 1,85$

75.5.7.



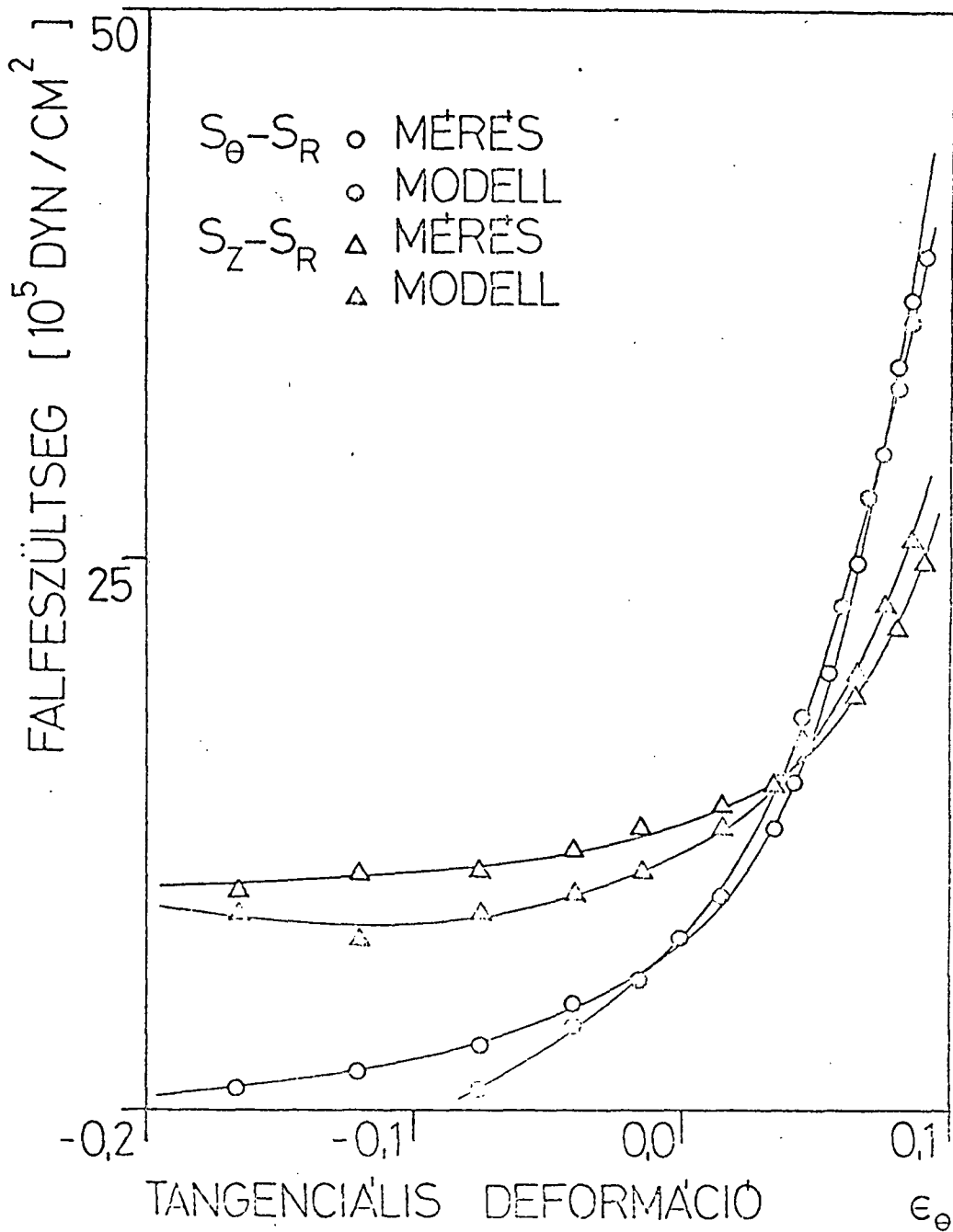
1a. ábra

MODELL EXP. 4

A. ILIACA

$\lambda_z = 1,55$

75. 4. 21.



1b. ábra

In vitro mechanikai mérésekből és az exponenciális deformációs energiasűrűség modellből számított falfeszültségek (különbségei) a tangenciális nyúlás függvényében, adott axiális megnyújtásnál, a.) arteria carotis communis, b.) arteria iliaca. Az illeszkedés carotis artériák esetében általában jobb.

feszültséggörbék kis deformációknál "kanyarogni kezdtek". Ez a kiszámítandó incrementális modulusokban jelentős hibát okoz, mivel azok a felületek parciális deriváltjai. Mindazonáltal a görbeoszillációktól eltekintve mindhárom modell (7 és 12 paraméteres polinomiális és 4 paraméteres exponenciális) kvalitatíve hasonló lefutású incrementális modulusokat ad. A Poisson számok esetében az eltérés nagyobb, mivel azok kifejezéseiben két-két Young modulus hányadosa szerepel - így a hibák ez esetben fokozottan jelentkezők.

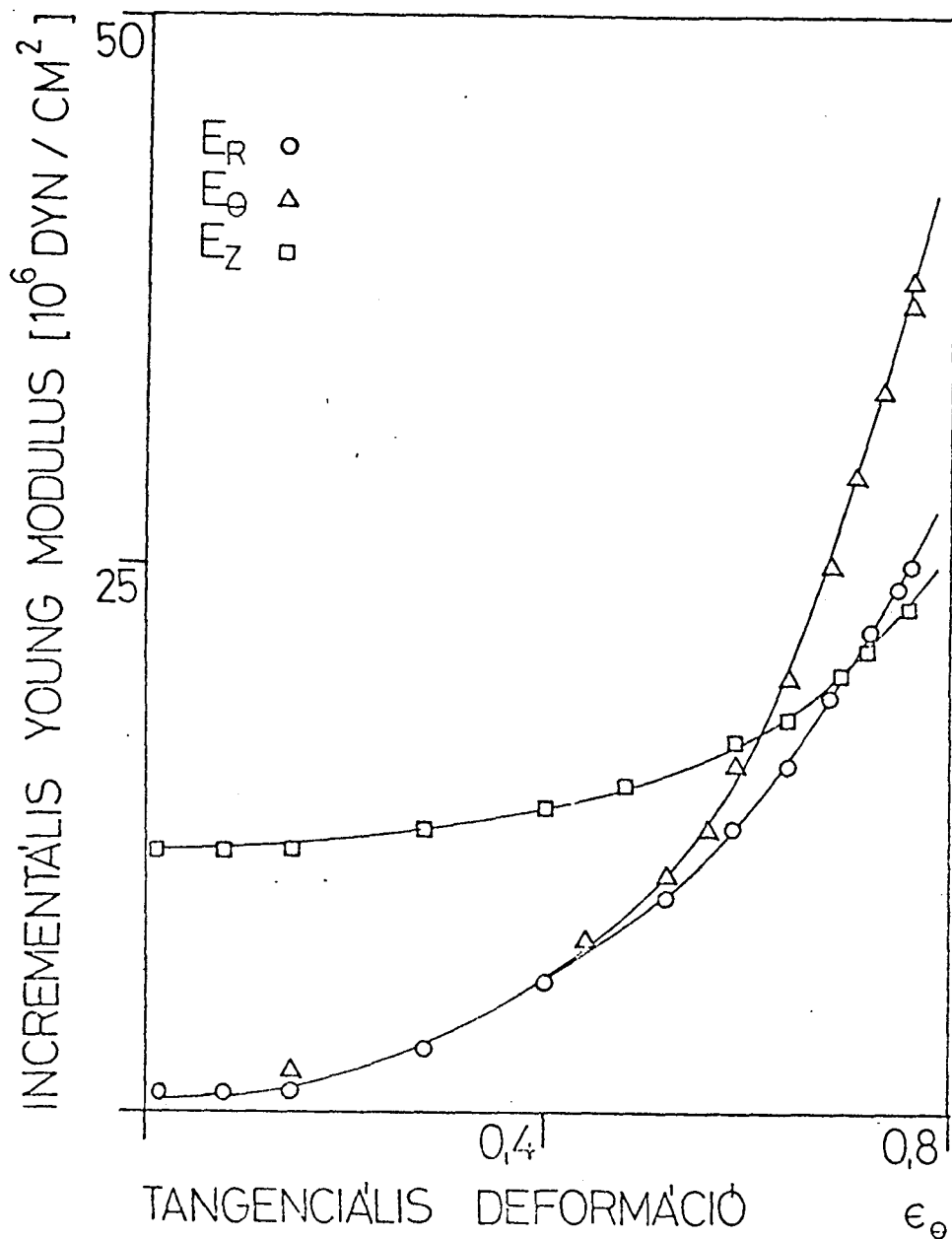
B. A 2. ábrát tekintve megállapíthatjuk, hogy a CC artéria erősen nemlineáris mind tangenciális, mind radiális irányban. Nyilvánvaló az artéria anizotrópiája a teljes deformációtartományban. A fiziológiai deformációtartományban $E_z > E_r \approx E_\theta$, azaz az artéria közelítőleg tranzverzálisan izotróp a θR síkban. Nagyobb deformációkra $E > E_r > E_z$ jellemző, az artéria ortotróp. Az, hogy E_z is függ a tangenciális deformációtól nemlineáris csatolásra utal a θ és Z irányok között. A különböző irányú deformációk közötti csatolást a Poisson állandók jellemzik (3. ábra). $\sigma_{\theta R}$ értékeiből látható, hogy kis tangenciális deformációknál az érfal radiális kompressziója csaknem kizárólag tangenciális megnyulást eredményez ($\sigma_{\theta R} \approx 1$). Növekvő tangenciális megnyulásnál radiális kompresszióra axiális nyulás is bekövetkezik, és túlsúlyba kerül amikor már $\sigma_{\theta R} < 0,5$. Ez teljes összhangban van a modulusok lefutásával, E_θ és E_z görbéi éppen a $\sigma_{\theta R} = 0,5$ -höz tartozó tangenciális deformációnál ($\epsilon_\theta = 0,6$) metszik egymást.

A tangenciális és axiális irányok közti csatolást láthatóan két állandó is jellemzi: $\sigma_{\theta z}$ és $\sigma_{z\theta}$ attól függően, hogy melyik irányban alkalmazunk terhelést az anyagra. $\sigma_{z\theta}$ növekedése a tangenciális deformációváltozásoknak az axiális irányra való fokozódó befolyását mutatja. Figyeljük meg, hogy $E_r = E_z$ esetén $\sigma_{z\theta} = 0,5$. A harmadik Poisson szám ($\sigma_{\theta z}$) lefutása egészen más, nagyobb tangenciális deformációknál az axiális hosszváltozások hatása a tangenciálisra csökken.

MODELL EXP. 4
A. CAROTIS COMMUNIS

$\lambda_z = 1,85$

75. 5. 7.

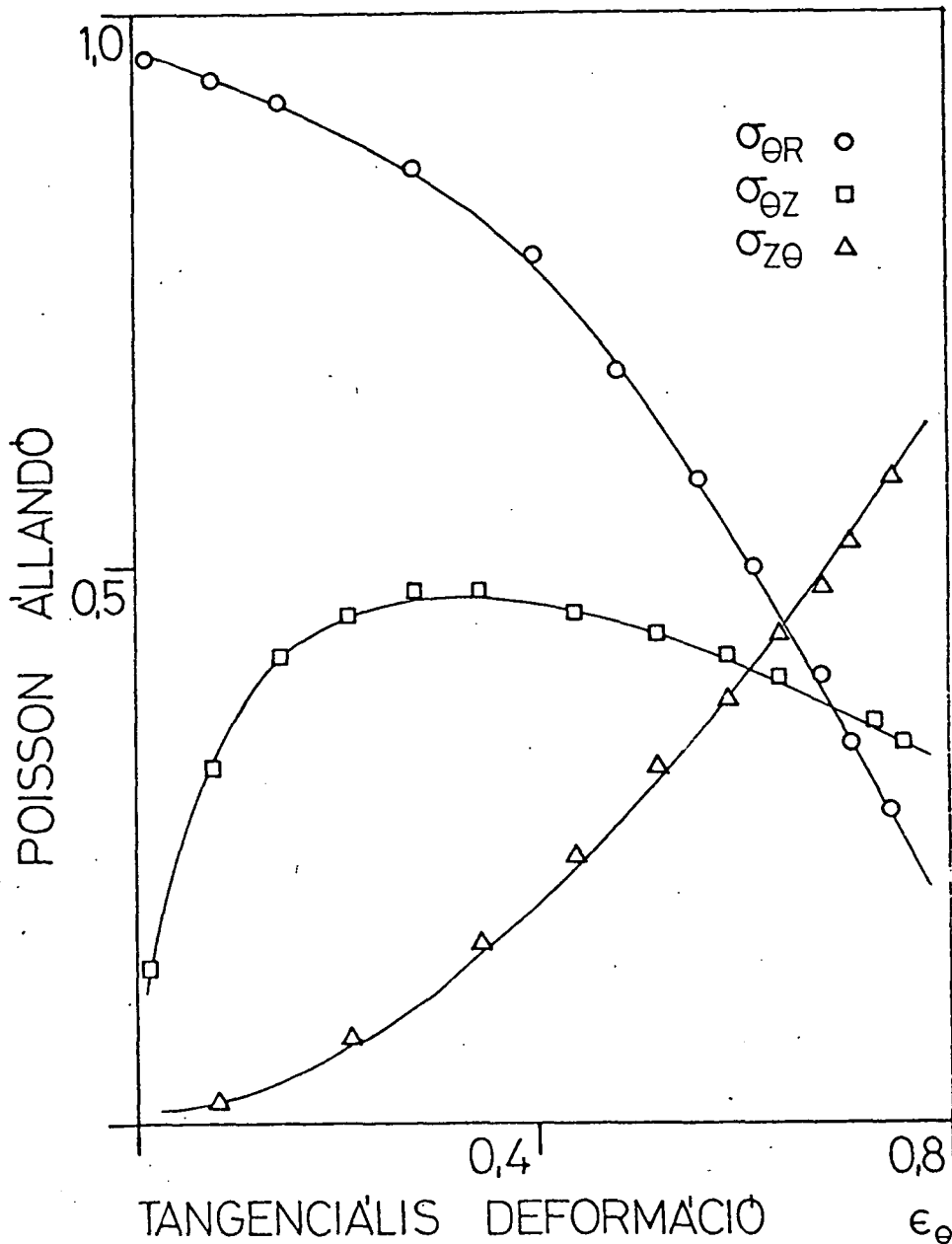


2. ábra

A 4 paraméteres exponenciális modellből, adott axiális megnyújtásra számított incrementális Young modulusok változása a tangenciális nyulás függvényében. A modulus-görbék meredek emelkedése jól mutatja a carotis communis artéria nemlineáris rugalmasságát a tangenciális és radiális irányokban. Normál fiziológias deformációknál az artéria ortotróp.

MODELL EXP. 4
A. CAROTIS COMMUNIS
 $\lambda_z = 1,85$

75.5.7.

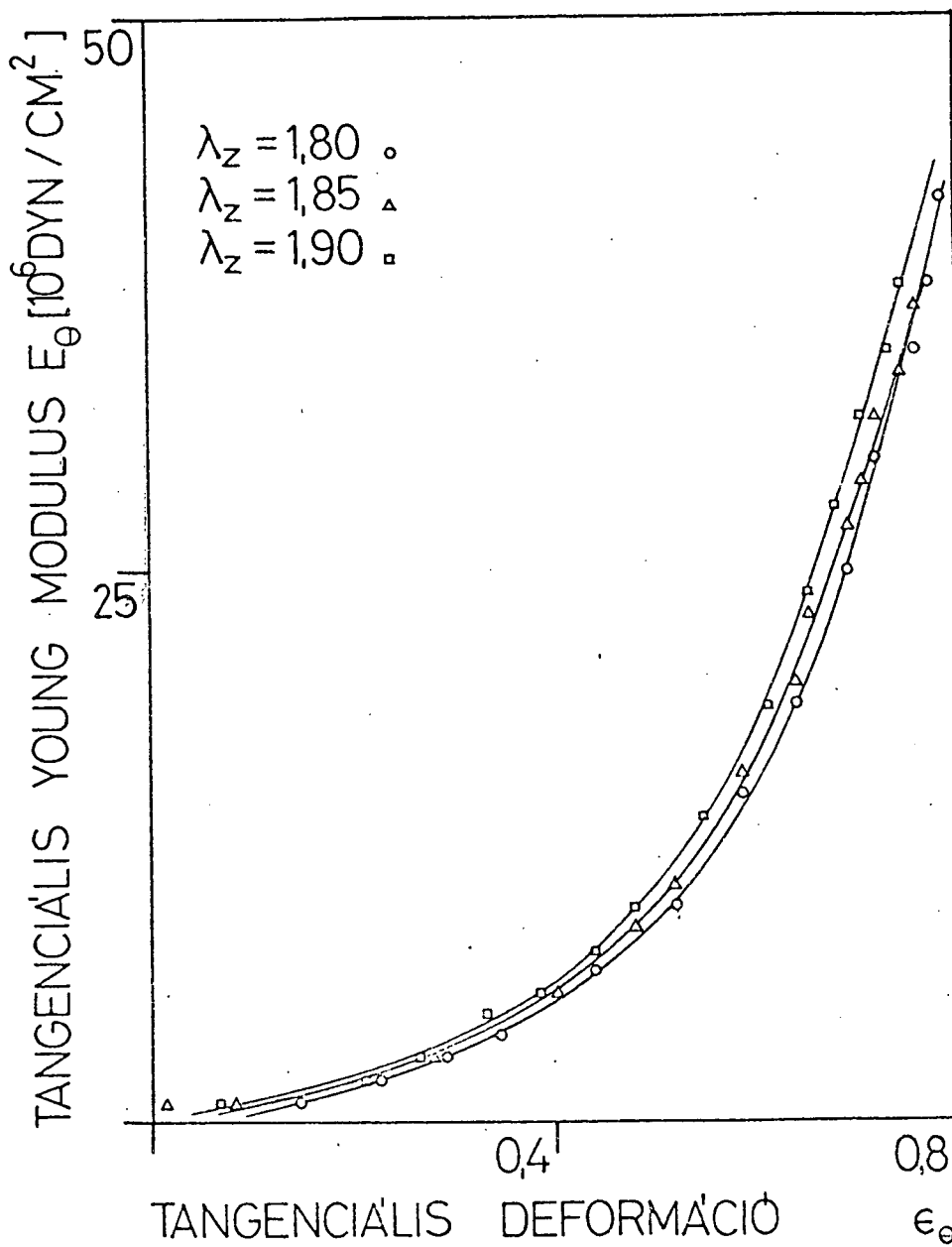


3. ábra

Az exponenciális modellből, adott axiális megnyújtásra számított incrementális Poisson állandók változása a tangenciális nyulás függvényében. A $\theta - R$ és $\theta - Z$ irányok közti csatolás gyengül a nagyobb tangenciális nyulásoknál, ha radiális kompresszió, ill. axiális nyújtás terhelést alkalmazunk az artériára. Tangenciális terhelés esetén a $Z - \theta$ csatolás erősödik.

MODELL EXP. 4
A. CAROTIS COMMUNIS

75.57

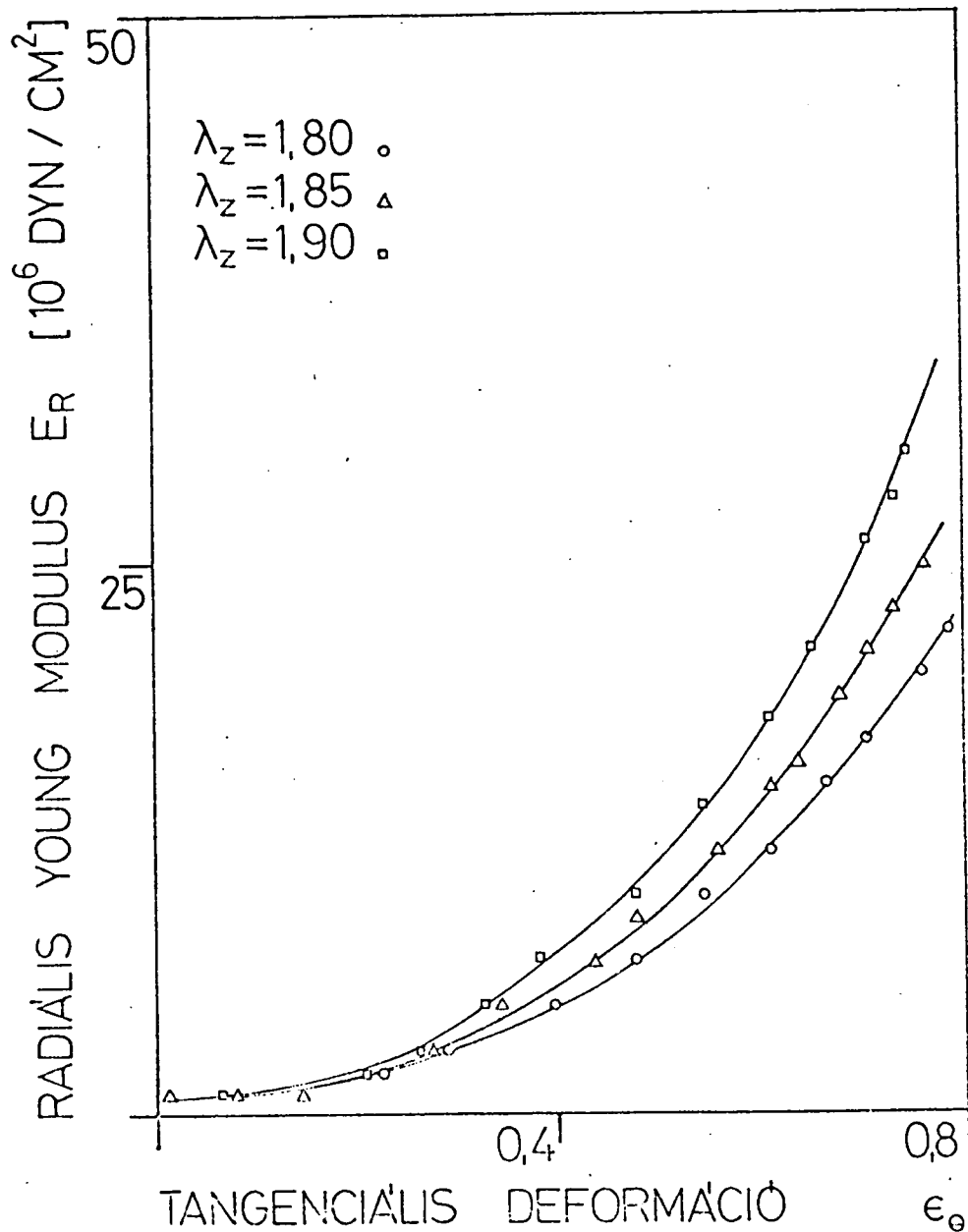


4a. ábra

MODELL EXP. 4

A. CAROTIS COMMUNIS

75.5.7

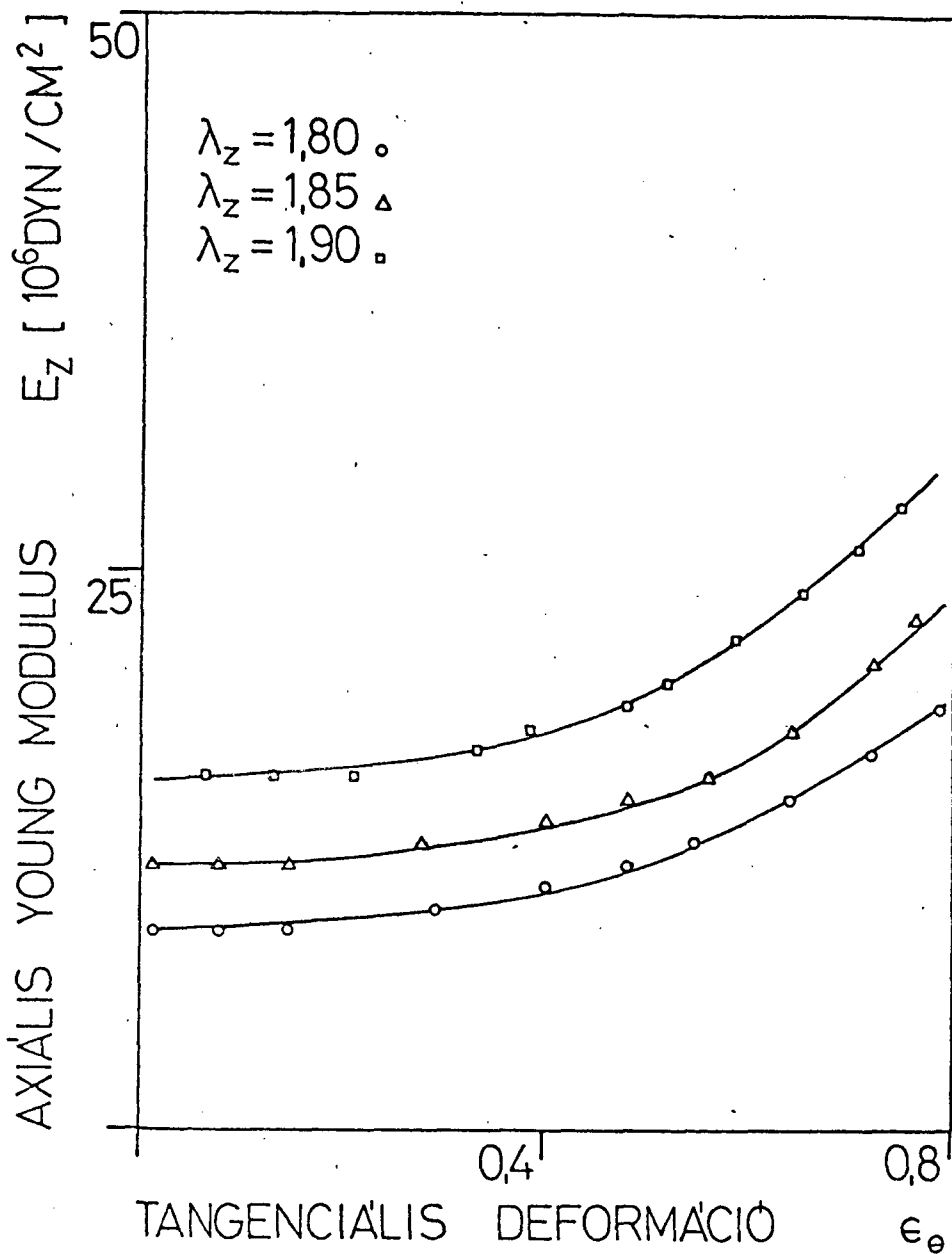


4b. ábra

MODELL EXP. 4

A. CAROTIS COMMUNIS

75.5.7.



4c. ábra

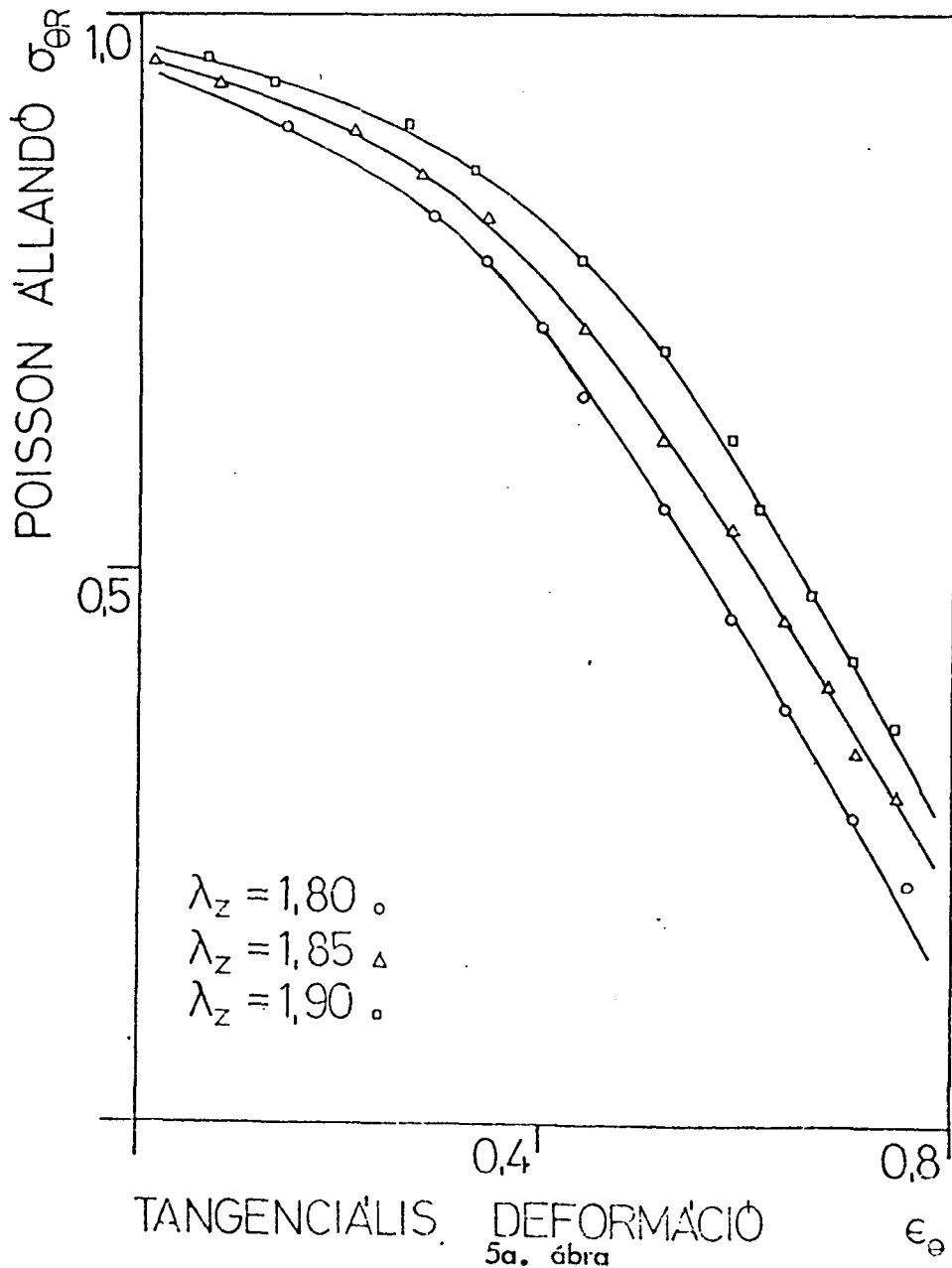
Kezdeti axiális megnyújtás hatása az incrementális Young modulusokra, a.) tangenciális, b.) radiális, c.) axiális. Az axiális megnyújtás növeli az ér radiális és axiális irányú merevségét.

A 4. ábra a különböző axiális megnyújtás értékekre számított Young modulusokat mutatja. Látható, hogy az axiális megnyújtás hatása kicsi a tangenciális modulusra, nagyobb a radiális-, és legkifejezettebb az axiális modulusra. Ez utóbbi nyilvánvalóan a CC artéria axiális irányú rugalmasságának nemlinearitását jelzi. A Poisson állandók λ függése az 5. ábra alapján tanulmányozható.

MODELL^z EXP. 4

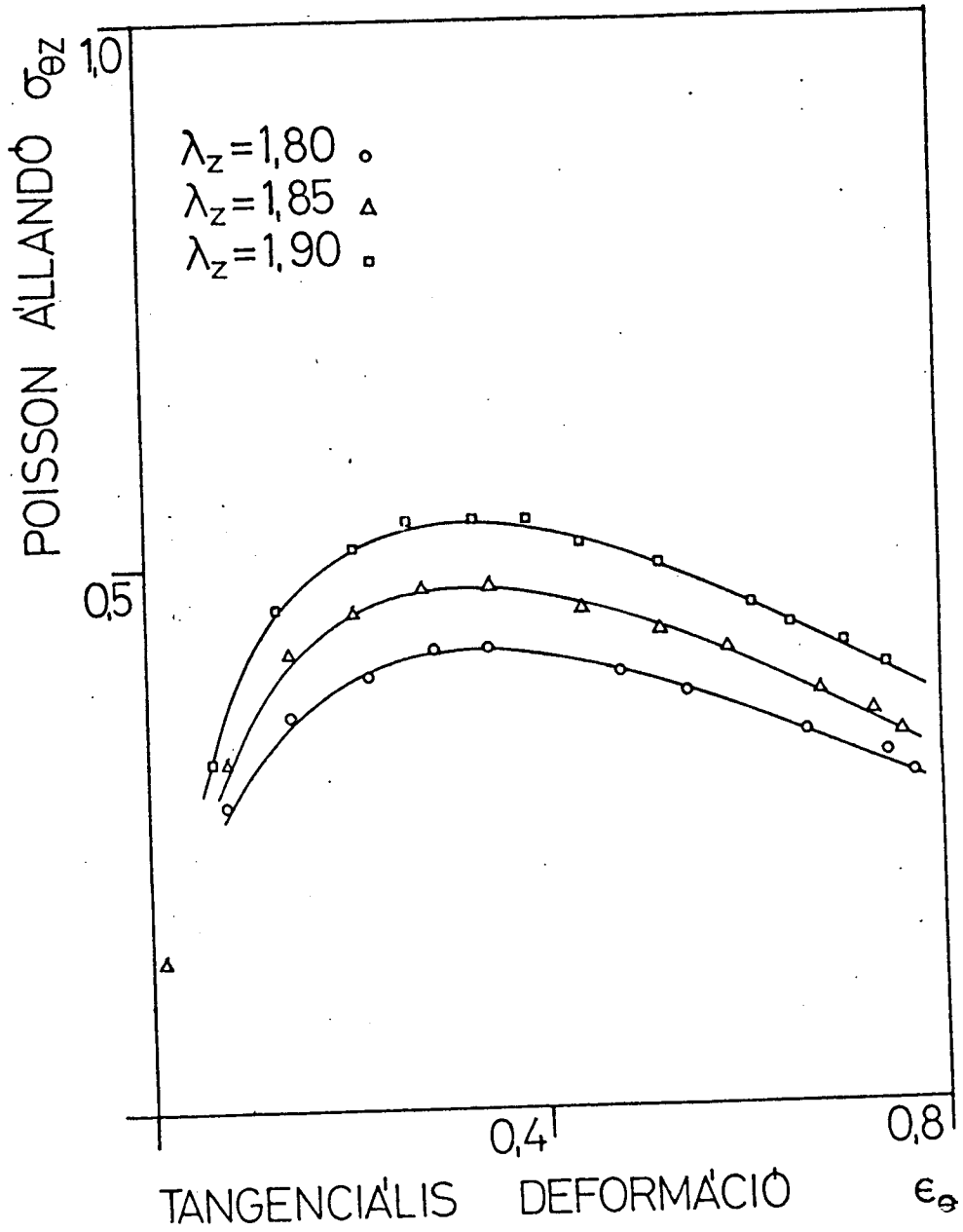
A. CAROTIS COMMUNIS

75.5.7.



MODELL EXP. 4
A. CAROTIS COMMUNIS

75.5.7

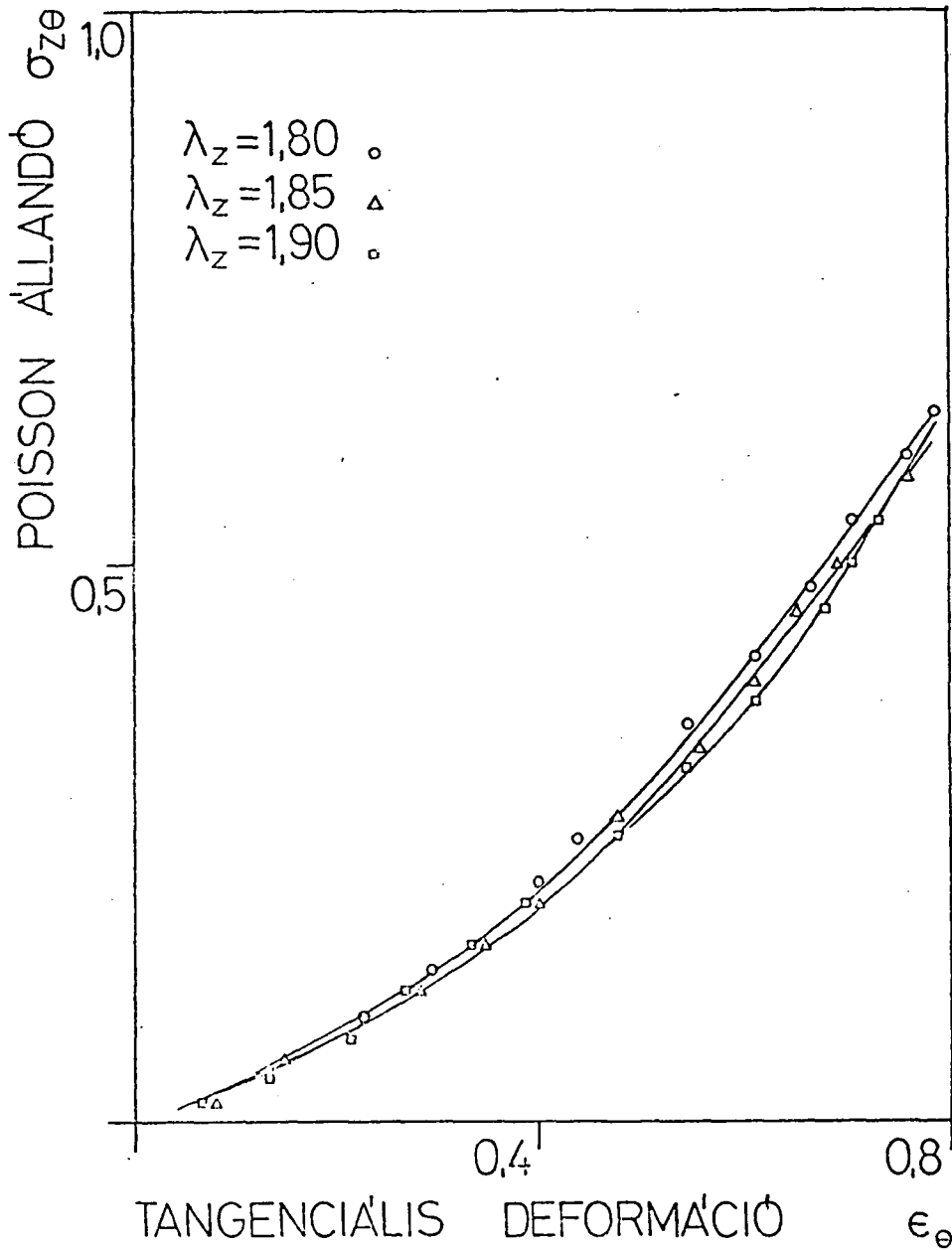


5b. ábra

MODELL EXP. 4

A. CAROTIS COMMUNIS

75.5.7



5c. ábra

Kezdeti axiális megnyújtás hatása az incrementális Poisson állandókra, a.) $\sigma_{\theta R}$, b.) $\sigma_{\theta Z}$, c.) $\sigma_{z\theta}$. A $\theta - Z$ irányok közötti asszimmetrikus csatolás valószínűsíti az érfal-collagen hálószerkezetét.

Növekvő axiális nyújtás hatására a $\sigma_{\theta r}$ és $\sigma_{\theta z}$ állandók növekedése a θ -R és a θ -Z irányok közötti csatolás erősödését jelzi a teljes tangenciális deformációtartományban. Ugyanakkor, ha Z- θ csatolást tekintjük ($\sigma_{z\theta}$) - azaz a tangenciális deformáció axiális kihatására nézve - nincs jelentős különbség az egyes axiális megnyújtások között.

A fent említett eredmények olyan speciális rostszerkezetre engednek következtetni, mely asszimmetrikus csatolást létesít a θ és Z irányok között. E következtetésnek kvalitatíve megfelel az az elképzelés, hogy az artériát alkotó egyik fő szerkezeti elem - a collagen hálószerű strukturába rendeződik. Fokozódó tangenciális megnyúlás esetén a háló száalai a tangenciális irányhoz közeledve asszimmetrikus csatolást hoznak létre. A Poisson állandók tangenciális deformációfüggése a modulusok lefutásából következik, és szintén magyarázható ér szerkezeti modellekkel (6).

Diszkusszió

Jelen munkánk közvetlen célja az anizotróp érfal incrementális rugalmassági modulusainak nemlineáris modellből való meghatározása volt. Ezen mennyiségek változásának jellege a deformációk függvényében általában hasonló, függetlenül attól, hogy a polinomiális, vagy exponenciális modellből számítottuk, és hogy az illeszkedés nem mindig volt jónak tekinthető. Az irodalomban időközben hasonló számítások jelentek meg carotis communis artériákra. A Cox (2) által közölt eredmények és az itt bemutatottak közel megegyezők. Nagyobb különbség a $\sigma_{\theta z}$ Poisson állandó esetében mutatkozik, különösen alacsony deformáció tartományban. Mivel az általunk alkalmazott polinomiális és exponenciális modellek éppen ebben a tartományban adtak jelentősen különböző $\sigma_{\theta z}$ értékeket, a görbe kezdeti szakasza nem vehető biztosra. Mint már említettük, a Cox által is alkalmazott, feltehetően 12 paraméteres polinomiális modell ezen kezdeti szakaszban oszcillál és ez a Poisson számok értékeiben is tükröződik. Ezért az exponenciális modell által jósolt eredmény tűnik legvalószínűbbnek. Az exponenciális modellből számított incrementális Young modulusok jól egyeznek a korábban prezentált incrementális számítások eredményeivel (7). Mint láttuk e 4 paraméteres modell jobb eredményekre vezet, mint a 7, vagy akár 12 paraméteres polinom. Ugy véljük ez is amellettt szól, hogy az exponenciális modell alkalmasabb az érfal-tulajdonságok leírására.

Mint említettük az illeszkedés jósága az egyes mérések esetében eltérő volt. Ennek oka a fentiekben említettek szerint valószínűleg nem a matematikai modellben, hanem a kísérleti körülményekben, vagy az ér biológiai tulajdonságaiban keresendő. Kezdeti feltételezéseink az érfal homogenitására, kompresszibilitására és anizotrópiájára nyilvánvalóan nem olyan egzaktul teljesülő feltételezések, mint például szilárd testek esetében. Azt, hogy az artériafal jó közelítéssel inkompresszibilis és ortotrop, többen ellenőrizték kísérletileg (9).

További fontos probléma, mely az élő szövet elasztikus tulajdonságai vizsgálatánál lép fel az, hogy az ér összetett szerkezete következtében kérdéses a "természetes állapot" létezése (4). Egy élő szövet ugyanis ha valamilyen módon terheljük, nem feltétlenül fog visszatérni az eredeti konfigurációba, miután a terhelést megszüntettük, azaz az anyag nem nevezhető ideálisan rugalmasnak. Feltételezhető, hogy a szövetnek van egy olyan állapota, melyben reprodukálható módon viselkedik egy speciális terhelés hatására. Ezt az állapotot *in vivo* homeosztázisnak, *in vitro* pedig kondicionált állapotnak nevezik. Ciklikus terheléssel az artéria ebbe az állapotba vihető. Mivel méréseink során az előzetes axiális megnyújtást változtatnunk kellett, feltehető, hogy a különböző hosszoknál elért kondicionált állapotok között némi diszkrepancia van, azaz az ér rugalmasságelméleti szempontból más anyagként viselkedik a különböző megnyújtásoknál. A fentiek értelmében - tehát ha nem létezik egyértelmű referenciaállapot - az ér nyugalmi geometriai adatait sem lehet pontosan meghatározni, ami további pontatlanságot vihet a számításokba.

Az említett problémák mellett is, a választott mérési körülmények között az exponenciális érfal-modell kielégítő közelítéssel írja le az ér nemlineáris anizotrop rugalmassági viselkedését és jó kiindulási alapot jelent további vizsgálatok számára. Ahhoz, hogy az érfal bonyolult viszkoelasztikus viselkedését strukturahü modellekkel tudjuk leírni a mérés technika és a kontinuumfizikai elmélet továbbfejlesztése szükséges.

Irodalom

- (1) Cox, R. H.: Three dimensional mechanics of arterial segments in vitro. *Methods. J. appl. Physiol.* 36: 381-384, (1974)
- (2) Cox, R. H.: Anisotropic properties of the canine carotid artery in vitro. *J. Biomechanics* 8: 293-300, (1975)
- (3) Fung, Y. C. B.: Elasticity of soft tissues in simple elongation. *Am. J. Physiol.* 213: 1532-1544, (1967)
- (4) Fung, Y. C. B.: Biorheology of Loose Connective Tissues, Especially Blood Vessels. In: *Biopolymere und Biomechanik von Bindegewebsystemen, 7. wissenschaftliche Konferenz der Gesellschaft Deutscher Naturforscher und Ärzte, Hartmann, F. (ed.), Heidelberg-New York, Springer-Verlag, Berlin, (1974)*
- (5) Green, A. E. and Adkins, J. E.: "Large Elastic Deformations and Nonlinear Continuum Mechanics", University Press, Oxford, (1960)
- (6) Hudetz A., Monos E.: Az artéria-fal biomechanikai tulajdonságainak modellezése. Számítástechnikai és kibernetikai módszerek alkalmazása az orvostudományban és a biológiában, 5. Kollokvium, Szeged, 1974. 275-286.
- (7) Hudetz A., Szutrély J., Monos E., Kovách A.: Az artéria-fal rugalmasságának háromdimenzionális elemzése. A MÉT XLI. vándorgyűlése, Szeged, 1975.
- (8) Monos E.: Az artéria-fal quasi-statikusság és dinamikus tulajdonságainak vizsgálata számítógépi módszerekkel. Számítástechnikai és kibernetikai módszerek alkalmazása az orvostudományban és a biológiában, 5. Kollokvium, Szeged, 1974. 287-299.
- (9) Patel, D. J. and R. N. Vaishnav: The Rheology of Large Blood Vessels, In: *Cardiovascular Fluid Dynamics (ed. D.H. Bergel) Vol. 2., 2-60, Ac. Press, New-York, (1972)*